

# Nowoczesne technologie materiałowe stosowane w przemyśle lotniczym

## Modern material technologies in aerospace industry

### Niekonwencjonalne technologie łączenia elementów konstrukcji lotniczych

#### Unconventional technologies of joining elements of aeronautical constructions

Politechnika Lubelska, Politechnika Rzeszowska, Politechnika Częstochowska, Instytut Maszyn Przepływowych Polskiej Akademii Nauk

#### Wyniki badań Results

##### Zgrzewanie tarciowe z przemieszaniem (FSW) cienkich blach ze stopów aluminium i magnezu

##### Friction Stir Welding of thin sheets of Al and Mg alloys

Wykonanie prób zgrzewania tarciowego FSW cienkich blach stopów aluminium 7075-T6, 2024-T3 grubości 0,4 mm oraz blach magnezowych AZ 31 grubości 0,5 mm, oraz ocena ich wytrzymałości.

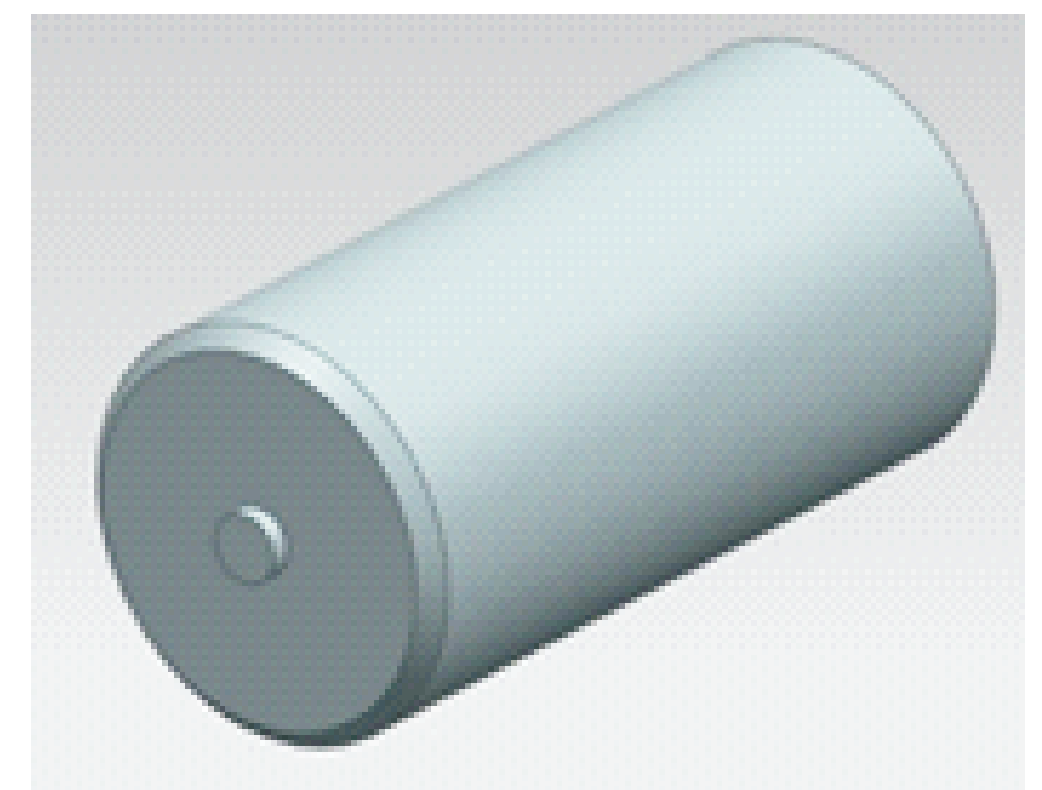
Performing friction stir welding FSW using 2024-T3, 7075-T6 and AZ31 alloys of 0,4 mm and 0,5 mm in thickness.

Cel: testy zgrzewania cienkich blach grubości 0,4 i 0,5 mm stopów aluminium i magnezu. Analiza złącza pod kątem wytrzymałości w stosunku do materiału rodzimego.

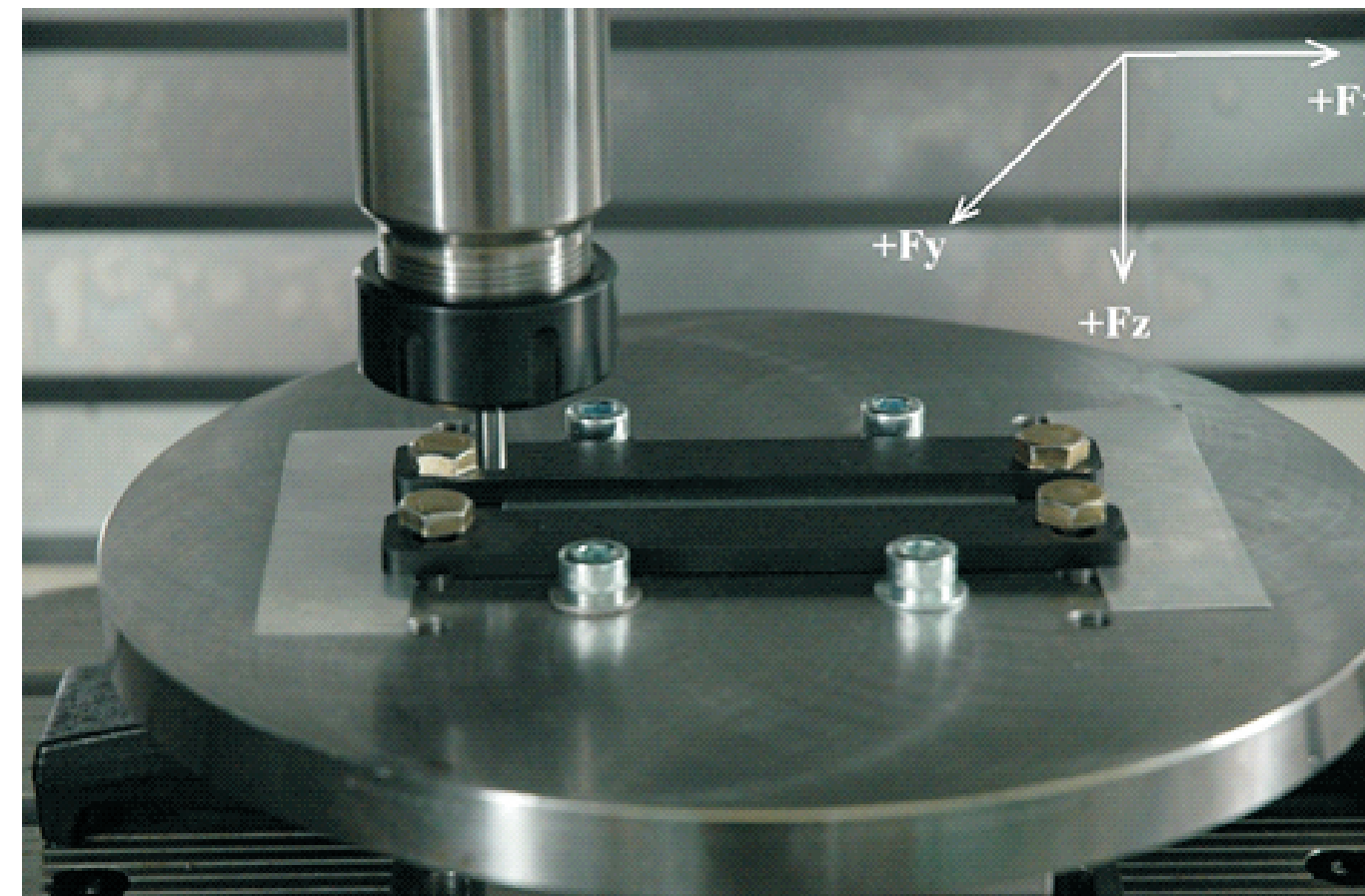
Przeprowadzenie prób rozciągania na maszynie wytrzymałościowej firmy Zwick/Roell Z100. Do zgrzewania posłużły blachy stopu aluminium 7075-T6, 2024-T3 grubości 0,4mm oraz magnezu AZ31 grubości 0,5mm. Połączenie zostało wykonane na odpowiednio przygotowanej frezarkę konwencjonalną, za pomocą samodzielnie wykonanego narzędzia ze względą spiekanego o średnicy wieńca opory 8 mm, średnicy trzpienia 1 mm i wysokości trzpienia 0,3 mm. Zgrzewanie blach było realizowane ze następującymi parametrami: prędkość obrotowa narzędzi 2240 obr/min, prędkość posuwu narzędzi 50, 70 i 100 mm/min, narzędzie zorientowane prostopadle do płaszczyzny blach

**Goal:** The present study is devoted to the welding of the thin alloy sheet of 0,4 mm and 0,5 mm aluminium and magnesium, respectively. The formed joints have been presented in the table below. The next step was to analyze the strength of the joint relative to the parent material. Tensile testing was carried out on an Zwick/Roell Z100 testing machine.

Welding has been performed using 2024-T3, 7075-T6 and AZ31 alloys of 0,4 mm and 0,5 mm in thickness. The connection has been made on properly prepared a conventional milling machine, using self-made carbide tool. The tool dimensions are: 8 mm shoulder in diameter, 1 mm pin in diameter and 0,3 mm pin height. Metal sheet welding was carried out with the following parameters: tool speed 2,240 rev / min, tool feed rate of 50, 70 and 100 mm / min, zero angle tilt tool.

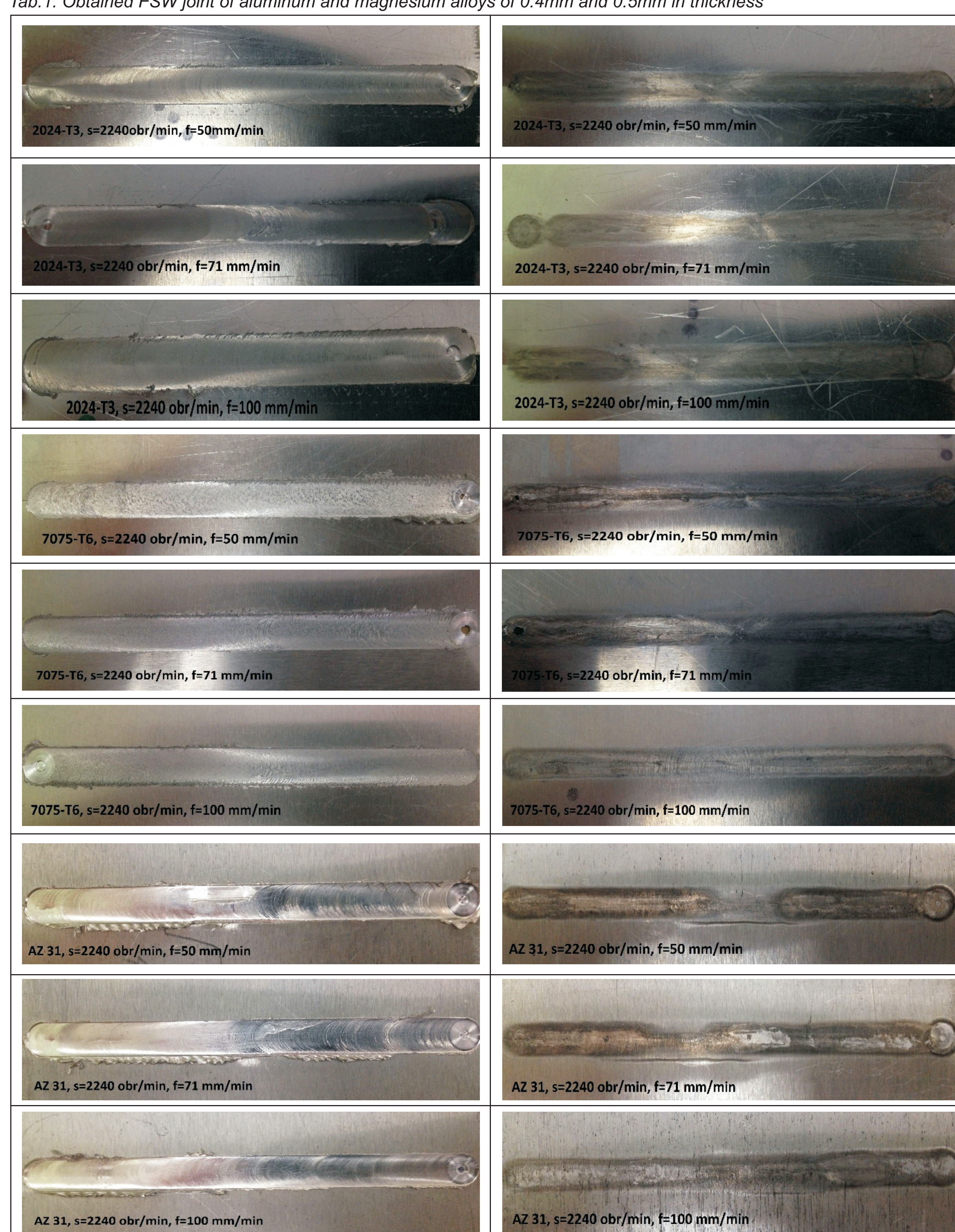


Rys.1. Widok użyciego narzędzia do zgrzewania FSW  
Fig.1. View of the tool used to FSW process



Rys.2. Stanowisko badawcze  
Fig.2. Test station

Tab. 1. Otrzymane złącza FSW stopów aluminium grubości 0,4mm i magnezu grubości 0,5mm  
Tab. 1. Obtained FSW joint of aluminum and magnesium alloys of 0,4mm and 0,5mm in thickness



Tab.2. Parametry technologiczne i właściwości mechaniczne otrzymanych połączeń FSW oraz materiału rodzimego  
Tab.2. Technological parameters and mechanical properties of received FSW joints and parent material

Materiał (grubość)	Obroty narzędzia [obr/min]	Posuw narzędzia [mm/min]	Wytrzymałość $R_m$ [MPa]	Granica plastyczności $R_{e2}$ [MPa]	Wydłużenie względne [%]	Efektywność połączenia [%]
2024 T3 (0,4mm)	2240	50	248	211	0,54	65
		71	308	275	1,1	81
		100	332	316	1,8	87
materiał rodzimy		380	253	11		
7075 T6 (0,4mm)	2240	50	283	278	0,55	53
		71	344	314	1,35	64
		100	356	316	1,5	66
materiał rodzimy		535	457	9,2		
AZ 31 (0,5mm)	2240	50	197	172	1	78
		71	151	150	0,9	60
		100	142	141	0,6	56
materiał rodzimy		253	195	9,4		

Próba rozciągania została przeprowadzona na maszynie wytrzymałościowej Zwick/Roell Z100 zgodnie z normą PN-EN 10002-1 (ASTM E8). Zostały wykonane próbki materiału rodzimego oraz próbki po zgrzewaniu FSW. Prędkość rozciągania wynosiła 10 mm/min. Wydłużenie próbki było mierzone za pomocą ekstensometru.

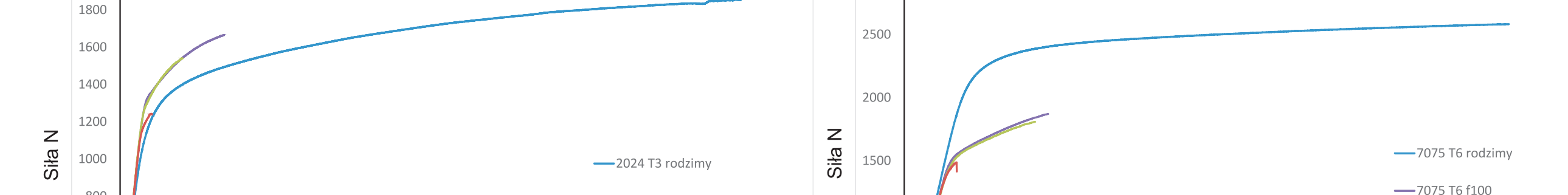
Tensile test was performed on the Zwick/Roell Z100 testing machine according to PN-EN 10002-1 (ASTM E8) norm. They have been tested 2 types of samples - the joined material and parent material. Stretching speed was 10 mm/min. The elongation of the sample was measured with an extensometer.



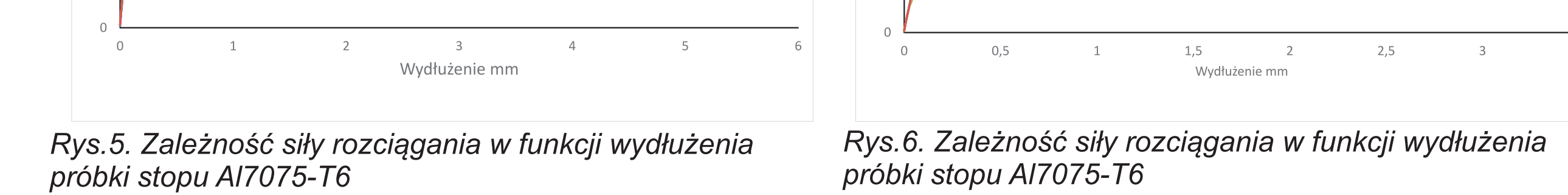
Rys.3. Widok próbek po próbie rozciągania  
Fig.3. Samples view after the tensile test



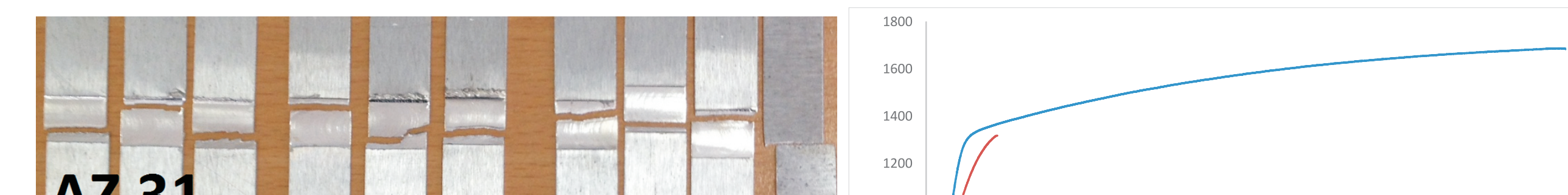
Rys.4. Widok próbek po próbie rozciągania  
Fig.4. Samples view after the tensile test



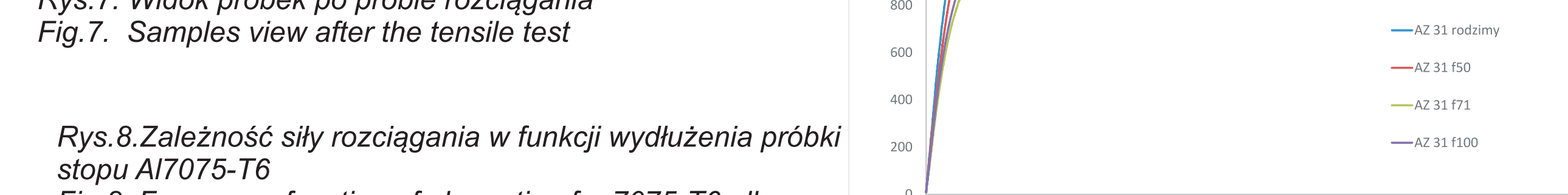
Rys.5. Zależność siły rozciągania w funkcji wydłużenia próbki stopu Al7075-T6  
Fig.5. Force as a function of elongation for 7075-T6 alloy



Rys.6. Zależność siły rozciągania w funkcji wydłużenia próbki stopu Al7075-T6  
Fig.6. Force as a function of elongation for 7075-T6 alloy



Rys.7. Widok próbek po próbie rozciągania  
Fig.7. Samples view after the tensile test



Rys.8. Zależność siły rozciągania w funkcji wydłużenia próbki stopu Al7075-T6  
Fig.8. Force as a function of elongation for 7075-T6 alloy

#### Wnioski Conclusions

- W przeprowadzonych próbach udało się uzyskać poprawne połączenia.
- Dla stopu 2024-T3 najlepszą efektywność połączenia wynoszącą 87% w stosunku do materiału rodzimego, uzyskano przy posuwie narzędziowym wynoszącym 100 mm/min.
- Dla stopu 7075-T6 efektywność złącza wynoszącą 66% uzyskano dla posuwu 100 mm/min.
- W stopie magnezu AZ 31 efektywność złącza na poziomie 78% uzyskano przy posuwie narzędziowym wynoszącym 50 mm/min.
- Podczas zgrzewania FSW cienkich blach stopów aluminium stosowanie niskich wartości posuwu wpływa niekorzystnie na wytrzymałość złącza i stabilność procesu, odwrotnie w przypadku stopów magnezu.
- W przypadku stopu magnezu wymagane jest zwiększenie prędkości obrotowej w celu poprawy stabilności procesu i doprowadzenie w wyniku tarcia do uplastycznienia strefy połączenia poprzez wytworzenie odpowiedniej temperatury.

- In performance tests obtained the correct joints
- For the alloy 2024-T3 best joints efficiency of 87% in relation to parent material was achieved with 100 mm / min tool feed rate.
- For the alloy 7075-T6 best joints efficiency of 66% in relation to parent material was achieved with 100 mm / min tool feed rate.
- For the alloy AZ31 best joints efficiency of 78% in relation to parent material was achieved with 50 mm / min tool feed rate.
- During FSW process of thin sheets of aluminum alloys use low feed rate value adversely affects to the strength of the joints and process stability, vice versa in the case of magnesium alloys.
- In the case of the magnesium alloy is required to increase the rotational speed to improve the stability of the process and bringing to plastic deformation of the joint zones by generating the proper temperature.

#### Wyniki badań Results

##### Zgrzewanie tarciowe z mieszaniem różnych stopów lotniczych

##### Friction stir welding of dissimilar aviation alloys

Cel: Proces zgrzewania tarciowego z mieszaniem (FSW) jest z powodzeniem stosowany do łączenia elementów wykonanych z tych samych materiałów. łączenie elementów wykonanych z różnych materiałów jest uzasadnione ze względu na szeroki zakres potencjalnych aplikacji w konstrukcjach lotniczych. Celem badań było określenie możliwości łączenia metodą FSW różnych materiałów.

**Goal:** The process of friction stir welding (FSW) has been successfully used to welding components made from the same materials. Joining elements made from various materials is justified because a wide range of potential applications in aircraft construction. The aim of the study was to determine the possibility of joining different materials using FSW.

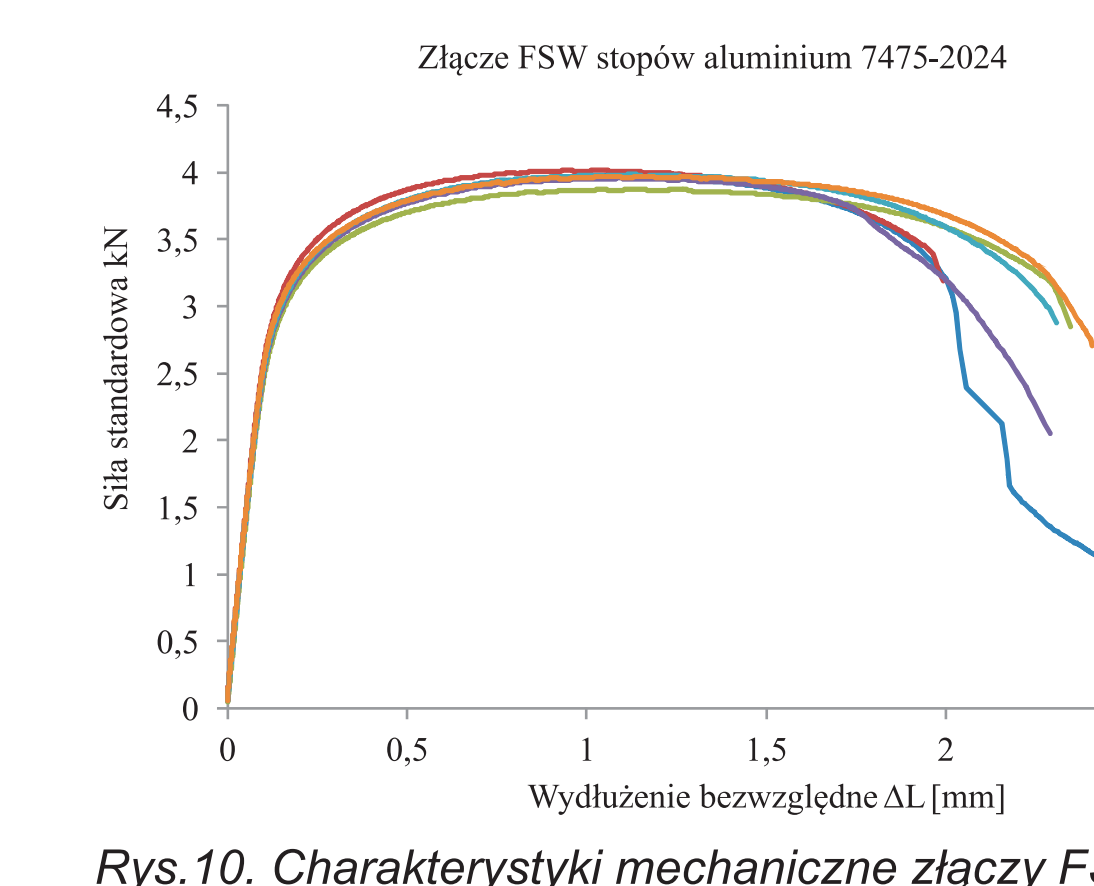
##### Metodyka badań, materiały i narzędzia

Proces zgrzewania przeprowadzono na uniwersalnej frezarkę pionową. Parametrami zmienianymi była prędkość posuwu stołu frezarki oraz prędkość obrotowa narzędzi (wrzeciona frezarki). Stosowano narzędzia o wymiarach: średnica cylindryczna trzpienia roboczego  $\phi 4$  mm, średnica kolnierza  $\phi 10$  mm, wysokość trzpienia 1,5 mm, powierzchnia podstopy trzpienia stożkowa, o kącie wkleśpiony równym 10 stopni. Kąt pochylenia narzędzi wynosił 3 stopnie względem normalnej do powierzchni blach. W badaniach stosowano trzy materiały: stopy aluminium 2024 i 7475 oraz stop magnezu AZ31. Grubość wszystkich blach wynosiła 1,6 mm. Wykonywano połączenia doczolowe pasów o wymiarach: szerokość 100 mm, długość 300 mm (wymiary próbki po złączaniu 200 mm x 300 mm). Złącza dwóch różnych materiałów wykonywano na dwa sposoby zamieniając ich położenie względem linii złącza. Wynikalo to z różnych warunków formowania złącza po stronie natarcia i po stronie spływu. W opisie złączy stosowano zasadę: pierwszy z wymienionych materiałów jest po stronie natarcia, drugi po stronie spływu.

Złącza testowano w próbie jednoosiowego rozciągania. Próbki do badań wycinano ze złączonych pasów blachy w kierunku prostopadły do linii złącza; szerokość próbek wynosiła 12,5 mm. Badania wytrzymałościowe przeprowadzono na maszynie wytrzymałościowej Zwick/Roell stosując bazę pomiarową ekstensometru 50 mm.



Rys. 9. Images of the FSW joints of aluminum alloys 7475 - 2024 after tensile test (manufacturing parameters: rate of feed - 71 mm/min, rotation - 1120 rot/min)



Rys.10. Charakterystyki mechaniczne złączy FSW stopów aluminium 7475 - 2024

Fig.10. Mechanical characteristics of the FSW joints of aluminum alloys 7475 - 2024



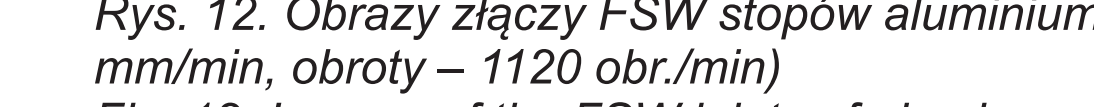
Rys.11. Charakterystyki mechaniczne złączy FSW stopów aluminium 2024-7475

Fig.11. Mechanical characteristics of the FSW joints of aluminum alloys 2024-7475



Rys. 12. Obrazy złączy FSW stopów aluminium 2024 - 7475 po próbie rozciągania (parametry zgrzewania: posuw - 71 mm/min, obrót - 1120 obr/min)

Fig. 12. Images of the FSW joints of aluminum alloys 2024 - 7475 after tensile test (manufacturing parameters: rate of feed - 71 mm/min, rotation - 1120 rot/min)



Rys. 13. Charakterystyki mechaniczne złączy FSW stopów aluminium 7475 i stopu magnezu AZ31

Fig. 13. Mechanical characteristics of the FSW joints of magnesium alloy AZ31 and aluminum alloy 7475



Rys. 14. Obrazy złączy FSW stopów aluminium 2024 - 7475 po próbie rozciągania (parametry zgrzewania: posuw - 71 mm/min, obrót - 1120 obr/min)

Fig. 14. Images of the FSW joints of aluminum alloys 2024 - 7475 after tensile test (manufacturing parameters: rate of feed - 71 mm/min, rotation - 1120